- 9. Абрамов И.И. Влияние параметров конструкции и материалов на вольт-амперные характеристики двухостровковых одноэлектронных цепочек / И.И. Абрамов [и др.] // Физика и техника полупроводников. 2002. Т. 36, №10. С. 1272–1277.
- Абрамов И.И. Модель многоостровковых одноэлектронных цепочек на основе метода Монте-Карло. / И.И. Абрамов [и др.] // Физика и техника полупроводников. – 2003. – Т.37, №5. – С. 583–587.
- 11. Абрамов, И.И. Система моделирования наноэлектронных приборов NANODEV / И.И. Абрамов [и др.] // Микроэлектроника. 2003. Т. 32, № 2. С. 124–133.
- 12. Abramov, I. I. A nanoelectronic device simulation software system NANODEV: New opportunities / I.I. Abramov [et al.] // Proc. of SPIE. 2010. V. 7521. P. 75211E-1–11.

# ФАЗОВЫЙ ПЕРЕХОД В НАНОТРУБКАХ СИЛИЦИДА МАГНИЯ

## А. Ю. Алексеев, А. Г. Черных, А. Б. Филонов, Д. Б. Мигас

Белорусский государственный университет информатики и радиоэлектроники, ул. П. Бровки, 6, 220013 Минск, Беларусь, e-mail: lucky.alexey94@gmail.com

В зависимости от диаметра, нанотрубки, свёрнутые из двумерного  $Mg_2Si$ , имеют различную структуру: в нанотрубках с диметром более 27-29 Å имеется искажение, аналогичное искажению динамически стабильной фазы Td двумерного  $Mg_2Si$ , тогда как нанотрубки с меньшим диаметром обладают более высокой симметрией и соответствуют нанотрубкам, свёрнутым из динамически нестабильной фазы T двумерного  $Mg_2Si$ . Зависимость энергии напряжения нанотрубок  $Mg_2Si$  от их диаметра содержит минимум, который приходится на нанотрубки (11,0) и (5,5) с диаметрами 15,7 и 12,5 Å, соответственно.

*Ключевые слова:* силицид; нанотрубка; наноструктура; отрицательная энергия напряжения; фазовый переход.

### PHASE TRANSITION IN NANOTUBES OF MAGNESIUM SILICIDE

### A. Yu. Alekseev, A. G. Chernykh, A. B. Filonov, D. B. Migas

Belarusian State University of Informatics and Radioelectronics, P. Browki str. 6, 220013 Minsk, Belarus Corresponding author: A. Yu. Alekseev (lucky.alexey94@gmail.com)

The structure of nanotubes, rolled up from the two-dimensional  $Mg_2Si$ , depends on their diameter: nanotubes with diameters more than 27-29 Å have a distortion similarly to the distortion of the dynamically stable Td phase of the two-dimensional  $Mg_2Si$ , while nanotubes with smaller diameters have a higher symmetry and correspond to nanotubes rolled up from the dynamical unstable T phase of the two-dimensional  $Mg_2Si$ . There is a minimum of strain energy of  $Mg_2Si$  nanotubes with respect to their diameter which occurs for (11,0) and (5,5) nanotubes with diameters of 15,7 and 12,5 Å, respectively.

**Key words**: silicide; nanotube; nanostructure; negative strain energy; phase transition.

#### **ВВЕДЕНИЕ**

Углеродные и неорганические нанотрубки (НТ) демонстрируют широкий спектр физических свойств в зависимости от размера и хиральности, благодаря чему они имеют большой потенциал использования во многих сферах, от наноэлектроники до трибологии [1,2]. Существенным препятствием на пути использования наноструктур в электронике является сложность экономически эффективного внедрения в хорошо отработанную кремниевую технологию, а также трудности при формирования однородных по свойствам наноструктур в промышленных масштабах. Известно, что силицен – двумерный (2D) материал, состоящий из атомов кремния, структура которого отличается от графена в связи с  $sp^3$  гибридизацией связей — удаётся синтезировать только на металлических подложках из-за наличия оборванных связей, делающих структуру нестабильной [3]. Недавно, нами было представлено теоретическое предсказание 2D силицидов, германидов и станнидов щёлочноземельных металлов посредством моделирования их фононных спектров из первых принципов [4-6]. В этих 2D структурах атомы кремния не формируют поверхностные слои и заключены в октаэдры или искажённые октаэдры из атомов щёлочнозмельного металла, связанных с ними силами ионного типа, таким образом, что оборванные связи в структуре отсутствуют (так называемый эффект псевдопассивации) [4-6]. В данной работе представлено теоретическое исследование структуры HT Mg<sub>2</sub>Si, специфика которых обусловлена наличием искажения в динамически стабильной фазе 2D Mg<sub>2</sub>Si.

## МАТЕРИАЛЫ И МЕТОДЫ

Полная оптимизация структур и расчёт полных энергий 2D  $Mg_2Si$  и HT  $Mg_2Si$  проводились в рамках метода присоединенных волн с использованием проекционных функций (код VASP) [7] с учетом обобщённого градиентного приближения PBE [8]. В расчетах энергия отсечки принималась равной 360 эВ. Интегрирование по зоне Бриллюэна проводилось на упорядоченном наборе точек в обратном пространстве  $13 \times 13 \times 1$  и  $1 \times 1 \times 13$  для 2D структур и HT, соответственно. Для предотвращения взаимодействия между соседними трансляциями 2D и HT структур дополнительно вводился вакуум толщиной 10 Å.

2D Mg<sub>2</sub>Si является динамически стабильным в фазе Td [5], которая представляет собой искажённую структуру фазы T. Обе 2D структуры изображены в верхней части рис. 1. В работе исследуются HT, свёрнутые из обеих фаз 2D Mg<sub>2</sub>Si. Для идентификации HT используется хиральный вектор  $n \cdot \vec{a}_1 + m \cdot \vec{a}_2$  или (n,m), где  $\vec{a}_1$  и  $\vec{a}_2$  — вектора решётки 2D структуры (см. рис. 1). Внешний вид HT (28,0) и (16,16), свёрнутых из 2D Mg<sub>2</sub>Si в фазе Td, также представлены в нижней части рис. 1.  $a_{\parallel}$  представляет собой параметр решетки вдоль оси HT.

Для исследования стабильности  $HT\ Mg_2Si$  использовалась энергия напряжения, которая определяется как разность полной энергии HT и полной энергии соответствующей 2D структуры, рассчитанные на одну структурную единицу.

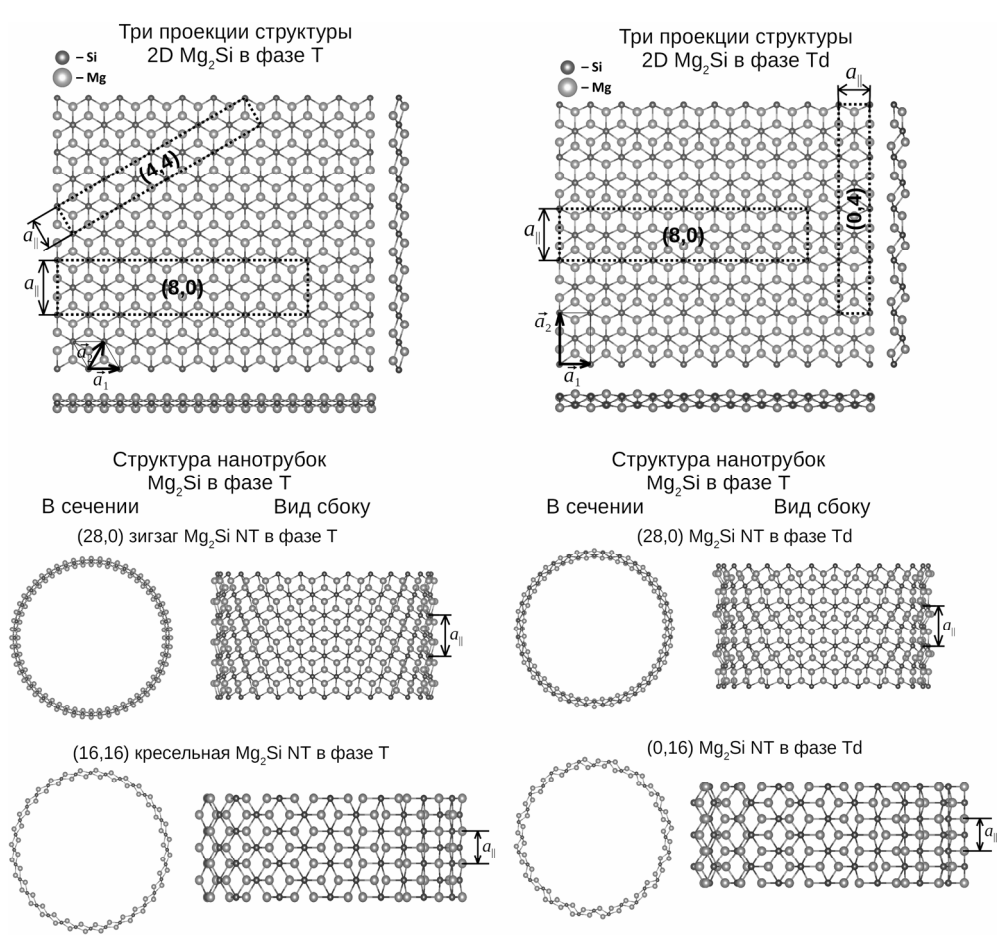


Рисунок 1. — Структуры 2D Mg<sub>2</sub>Si в фазах T и Td и свёрнутых из них HT Mg<sub>2</sub>Si. Векторы решётки  $\vec{a}_1$  и  $\vec{a}_2$  2D структур и параметр решётки HT  $a_{\parallel}$  также представлены. На 2D структурах пунктирной линией приведены примеры нанолент, необходимых для сворачивания HT с указанными хиральными векторами

## РЕЗУЛЬТАТЫ И ОБСУЖДЕНИЕ

На рис. 2 представлена зависимость энергий напряжения HT  $Mg_2Si$  от их диаметра (d) (диаметр определяется, как средний диаметр трубки, образуемой атомами кремния). Поскольку в пределе бесконечного диаметра HT физически эквивалентна 2D структуре, при увеличении диаметра энергия напряжения HT стремиться к нулю. При уменьшении диаметра энергия напряжения HT  $Mg_2Si$  в фазе Td увеличивается, как это имеет место для углеродных HT [1] и HT дихалькогенидов тугоплавких металлов [9] в связи с увеличением напряжения в химических связях, которое вызвано кривизной стенки HT. Кроме того, обнаружено, что с уменьшением диаметра в HT  $Mg_2Si$  в фазе Td уменьшается искажение, отличающее их от соответствующих HT в фазе T. В связи с этим полная энергия HT  $Mg_2Si$  в фазе Td начинает стремиться к энергии HT в фазе T . Начиная с HT (14,0) и (0,6) происходит фазовый переход из Td

фазы в фазу Т. Этот фазовый переход обусловлен только силами, действующими на атомы, так как расчеты проводились при 0 К. Не исключено, что при увеличении температуры фазовый переход сдвинется в сторону больших диаметров.

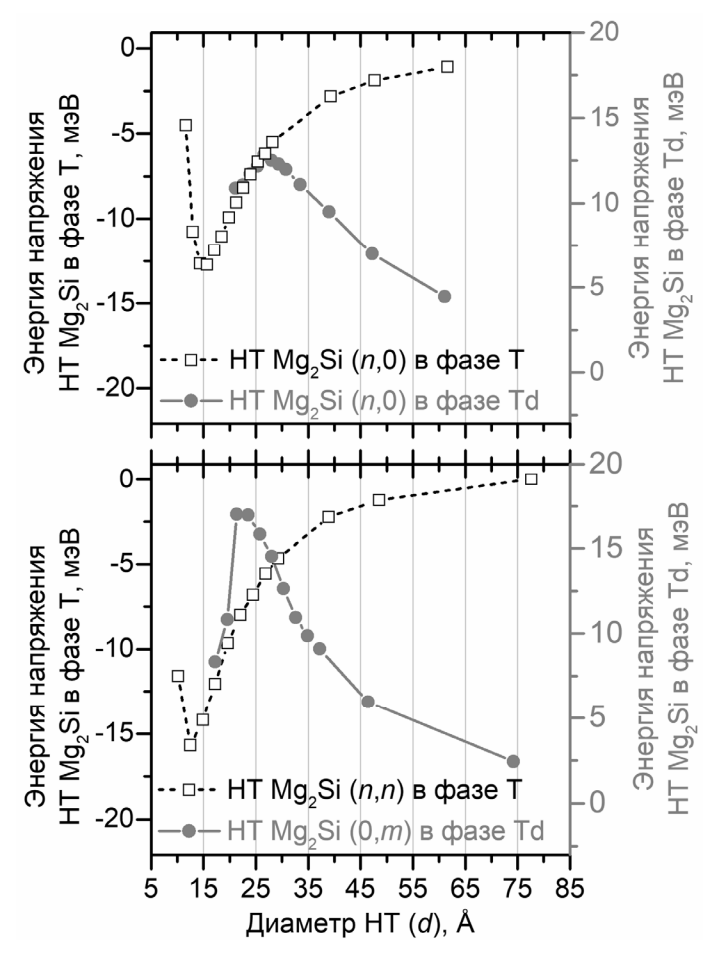


Рисунок 2. — Энергии напряжения HT  $Mg_2Si$  в зависимости от их диаметра (d). Представлены две шкалы энергии, которые сдвинуты друг относительно друга на величину разности полных энергий 2D  $Mg_2Si$  в фазе T и фазе Td. Линии, соединяющие точки, физического смысла не имеют

С другой стороны, энергия напряжения HT  $Mg_2Si$  в фазе T, напротив, уменьшается при уменьшении диаметра, несмотря на вводимые кривизной стенки HT напряжения в химических связях. Начиная с (19,0) и (12,12) HT  $Mg_2Si$  в фазе T (d=26.8 и 29.3 Å, соответственно) обнаружено, что они имеют меньшую полную энергию, чем HT в фазе Td. С дальнейшим уменьшением диаметра на графике энергии напряжения наблюдается минимум, который приходиться на HT  $Mg_2Si$  в фазе T (11,0) (d=15,7 Å) и (5,5) (d=12,5 Å). Расстояние двумя минимумами энергии напряжения для HT различных хиральностей пренебрежимо мало ( $\sim$  3 мэВ). При сильном уменьшении радиуса HT наблюдается резкий подъём энергии напряжения в связи с чрезмерным изменением угла между  $Mg_-Si-Mg$  связями, вызванным кривизной стенки

НТ, или в связи с нежелательным взаимодействием между атомами, в результате уменьшения расстояний между ними.

Так как не проводился расчет фононного спектра HT  $Mg_2Si$  с целью определения их динамической стабильности из-за необходимости слишком больших вычислительных и временных ресурсов, по поводу стабильности HT  $Mg_2Si$  можно сказать следующее. Аналогично тому, как из двух близких 2D структур  $Mg_2Si$  (отличающихся друг от друга некоторым искажением) динамически стабильной оказывается только та, которая обладает меньшей полной энергией (нулевых колебаний атомов достаточно, чтобы исказить фазу T в фазу Td), можно предположить, что динамически стабильными являются только те T0 T1 T2 T3, которые обладают меньшей полной энергией.

#### ЗАКЛЮЧЕНИЕ

Результаты теоретического исследования нанотрубок  $Mg_2Si$  показали, что 2D  $Mg_2Si$  в фазе T может стабилизироваться не только посредством искажения структуры в фазу Td, но посредством сворачивания двумерной структуры в HT, благодаря увеличивающейся кривизне структуры. Было обнаружено, что HT  $Mg_2Si$  с диаметром более 27-29 Å стабильны в фазе Td, тогда как при уменьшении диаметра наблюдается фазовый переход в фазу T.

На зависимости энергии напряжения HT  $Mg_2Si$  от диаметра имеется минимум. Известно, что наличие такого минимума приводит к монодисперсности синтезированных на эксперименте HT по отношению к их диаметру [10], что является очевидным преимуществом исследуемых HT  $Mg_2Si$ . Результаты работы также предсказывают отсутствие монодисперсности синтезируемых HT  $Mg_2Si$  по их хиральности.

Дальнейшее исследование физических свойств  $HT\ Mg_2Si$  позволит оценить перспективы их использования в устройствах наноэлектроники нового поколения.

### БИБЛИОГРАФИЧЕСКИЕ ССЫЛКИ

- Dresselhaus, G. Physical properties of carbon nanotubes / G. Dresselhaus, M. S. Dresselhaus, R. Saito. – London: Imperial College Press, 1998. – 259 p.
- 2. Rao, C. N. R. Inorganic nanotubes / C. N. R. Rao, M. Nath // Philosophical Transactions of the Royal Society of London. Series A: Mathematical, Physical and Engineering Sciences. 2004. Vol. 362, № 1823. P. 2099–2125.
- 3. Rise of silicene: A competitive 2D material / J. Zhao [et al.] // Prog. Mater. Sci. -2016. Vol. 83. P. 24-151.
- 4. Quasi-2D silicon structures based on ultrathin  $Me_2Si$  (Me = Mg, Ca, Sr, Ba) films / D. B. Migas [et al.] // Surface Science. -2018. -Vol. 670. -P. 51-57.
- Stability of 2D Alkaline-Earth Metal Silicides, Germanides and Stannides / A. Yu. Alekseev [et al.] //
  International Journal of Nanoscience. 2019. Vol. 18, № 03n04. P. 1940013.
- 6. Structural stability and electronic properties of 2D alkaline-earth metal silicides, germanides, and stannides / A. Y. Alekseev [et al.] // Japanese Journal of Applied Physics. 2020. Vol. 59. P. SF0801.
- 7. Kresse, G. Efficiency of *ab-initio* total energy calculations for metals and semiconductors using a plane-wave basis set / G. Kresse, J. Furthmьller // Computational Materials Science. − 1996. − Vol. 6, № 1. − P. 15–50.
- 8. Perdew, J. P. Generalized gradient approximation made simple / J. P. Perdew, K. Burke, M. Ernzerhof // Physical review letters. − 1996. − Vol. 77, № 18. − P. 3865.
- 9. Seifert, G. Stability of metal chalcogenide nanotubes / G. Seifert, T. Köhler, R. Tenne // The Journal of Physical Chemistry B. -2002. Vol. 106, N 0 10. P. 2497–2501.
- 10. Origin of the strain energy minimum in imogolite nanotubes / S. U. Lee [et al.] // The Journal of Physical Chemistry C. 2011. Vol. 115, № 13. P. 5226–5231.